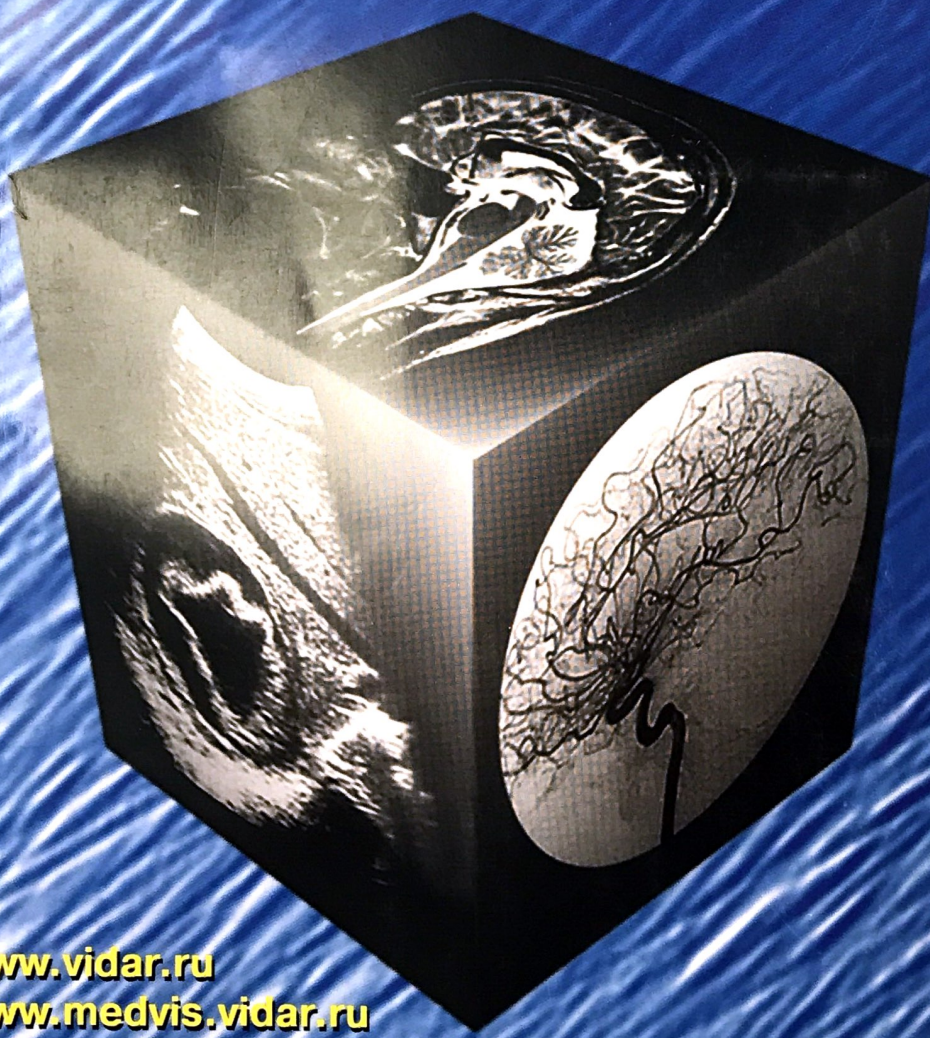


# МЕДИЦИНСКАЯ ВИЗУАЛИЗАЦИЯ

3' 2012



- Ультразвуковые методы исследования в диагностике нарушений регионарной гемодинамики при закрытой травме глаза
- Оптимизация лучевой нагрузки на пациента при проведении КТ-ангиографии аорты и периферических артерий
- Эргономика в лучевой диагностике
- Лучевая диагностика пороков митрального клапана (обзор литературы)
- Лучевая диагностика травм таза, полученных в результате дорожно-транспортных происшествий

[www.vidar.ru](http://www.vidar.ru)  
[www.medvis.vidar.ru](http://www.medvis.vidar.ru)  
[www.medimage.ru](http://www.medimage.ru)

**ВИДАР**



От приглашенного редактора

# Современные возможности визуализации спонтанной диссекции экстракраниальных отделов внутренних сонных и позвоночных артерий

М.В. Древаль, Т.А. Попова

(научные руководители – доктор мед. наук. М.В. Кротенкова, проф. Л.А. Калашникова)

ФГБУ “Научный центр неврологии” РАМН, Москва

## Modern Imaging of Spontaneous Internal Carotid and Vertebral Arteries Dissection on the Extracranial Level

M.V. Dreval, T.A. Popova

Одной из малоизвестных и малоизученных причин ишемического инсульта является спонтанная диссекция экстракраниальных артерий. Внедрение в клиническую практику современных неинвазивных методов исследования сосудов мозга расширило возможности диагностики этой патологии. В данной статье обсуждаются преимущества и ограничения наиболее часто используемых диагностических методов: дигитальной субтракционной ангиографии, МРТ, магнитно-резонансной ангиографии, КТ, компьютерно-томографической ангиографии.

**Ключевые слова:** внутренние сонные артерии, позвоночные артерии, спонтанная диссекция внутренних сонных и позвоночных артерий, магнитно-резонансная ангиография, компьютерно-томографическая ангиография, дигитальная субтракционная ангиография.

\* \* \*

Extracranial arterial dissection is one of the little-known and low-studied causes of an ischemic stroke. Recently introduced noninvasive vascular imaging methods expanded possibilities of diagnostics of this pathology. This review provides a detailed discussion of the relative merits and limitations of currently available imaging modalities, such as digital subtraction angiography, MRI, a magnetic resonance angiography, CT and computed tomography angiography.

**Key words:** internal carotid arteries (ICA), vertebral arteries (VA), ICA and VA spontaneous dissection, MRI, magnetic resonance angiography, CT, computed tomography angiography, digital subtraction angiography.

### Введение

Внедрение в клиническую практику современных методов нейровизуализации значительно расширило диагностические возможности оценки структурных изменений вещества головного мозга и его сосудов [1, 2]. Так, улучшилась диагностика спонтанной диссекции артерий, кровоснабжающих мозг, что кардинально изменило представление о частоте ее встречаемости. Стало очевидным, что диссекция, ранее считавшаяся раритетной патологией, является одной из основных причин ишемического инсульта в молодом и детском возрасте [3–5]. Последние исследования показывают, что диссекция может развиваться и в старших возрастных группах [4–7].

Под термином «диссекция» понимают проникновение крови из просвета сосуда в стенку артерии через разрыв интимы (внутренней оболочки) с ее распространением между слоями, чаще всего между интимой и медией (средней оболочкой) [6, 8–10]. Кровь, скопившаяся в стенке (интрамуральная гематома – ИМГ) вызывает стеноз, а иногда и окклюзию просвета артерии, а также приводит к расширению наружного диаметра артерии [11].

Для корреспонденции: Древаль Марина Владимировна – e-mail: shusheek@yandex.ru

Древаль Марина Владимировна – аспирант отделения лучевой диагностики НЦН РАМН; Попова Таисия Александровна – аспирант отделения лучевой диагностики НЦН РАМН.



В некоторых случаях, при распространении крови до адвентиции (наружной оболочки артерии), формируется расслаивающая аневризма. Кровь, скопившаяся в стенке, может прорвать интиму в более дистальном отделе артерии и соединиться с основным кровотоком, приводя, таким образом, к формированию двойного (ложного и истинного) просвета артерии.

Целенаправленное изучение диссекции артерий, кровоснабжающих головной мозг, в нашей стране впервые было начато в НИИ неврологии РАМН в конце 90-х годов. На основе проведенных исследований опубликована серия работ, посвященных клиническим проявлениям диссекции церебральных артерий различной локализации [2, 11, 12].

Спонтанная диссекция церебральных артерий (СДЦА), по нашим данным, является причиной ишемического инсульта у 25% больных молодого возраста [12], на такую же частоту указывают и большинство зарубежных авторов [12, 13]. Частота встречаемости составляет 5 на 100 000 населения в год [14]. Эти показатели, вероятно, занижены, так как СДЦА часто остается нераспознанной причиной ишемического инсульта или протекает бессимптомно или малосимптомно, случайно выявляясь при нейровизуализационном, ангиографическом и ультразвуковом исследованиях.

Диссекция может развиться как в экстра-, так и в интракраниальных артериях. По мнению большинства исследователей, чаще происходит экстракраниально, что объясняется большей подвижностью артерий на этом уровне и их анатомической близостью к костным структурам (шейные позвонки, шиловидный отросток) [15–17]. Наиболее часто диссекции подвергается шейная часть внутренней сонной артерии (ВСА), V<sub>2</sub>- и V<sub>3</sub> сегменты позвоночных артерий (ПА) [18].

Основной причиной развития диссекции служит слабость сосудистой стенки, обусловленная ее дисплазией. При этом у 15–23% пациентов с СДЦА выявляются ангиографические признаки фибромышечной дисплазии (ФМД) [19–21]. Морфологические признаки ФМД были обнаружены нами во всех трех случаях, когда проводилось гистологическое исследование артериальной стенки. Причиной дисплазии сосудистой стенки, согласно нашей концепции, основанной на морфологическом и электронно-микроскопическом исследовании биоптатов мышц и кожи, служит митохондриальная цитопатия [2]. Другими причинами СДЦА, встречающимися значительно реже, являются неспецифические заболевания соединительной ткани, артерииты, артериопатии, сосудистый синдром Элерса–Данло, синдром Марфана, кистозный ме-

дианекроз. Ассоциация СДЦА с внутричерепными аневризмами, расширением корня аорты, извистями артерий и мигренью рассматривается как косвенный признак артериопатии [4, 22–25]. Некоторые авторы полагают, что лежащая в основе спонтанной диссекции артериопатия может быть преходящей и возникать после перенесенной инфекции [18, 26–28].

Провоцирующими факторами развития СДЦА могут быть незначительная травма головы и шеи, физическое напряжение, повороты, наклоны головы, ее неудобное положение, мануальная терапия [4, 11, 29–33].

Основными клиническими проявлениями диссекции экстракраниальных артерий являются: ишемический инсульт, реже преходящее нарушение мозгового кровообращения, боль в голове или шее (на стороне диссекции), поражение черепных нервов, симптом Горнера, пульсирующий шум в ухе. В ряде случаев расслоение артерии протекает асимптомно, случайно выявляясь при ангиографических исследованиях.

В связи с большим разнообразием клинических проявлений СДЦА методы визуализации играют основную роль в ее диагностике [6, 18, 19]. Определенное диагностическое значение имеет и УЗИ.

В настоящей работе представлен обзор данных литературы о диагностических возможностях различных методов с иллюстрацией их результатами собственных исследований.

### Дигитальная субтракционная ангиография (ДСАГ)

Исторически ДСАГ рассматривается как “золотой стандарт” в диагностике СДЦА, однако метод имеет ограничения, такие как инвазивность и стоимость проведения исследования. Кроме того, ДСАГ не позволяет визуализировать стенку артерий, поэтому при нетипичном расположении диссекции полученные данные могут неправильно интерпретироваться или быть сходными с другими патологическими процессами [34, 35].

Основными ангиографическими признаками диссекции экстракраниальной части ВСА является равномерное или неравномерное сужение артерии (рис. 1), обозначаемое в литературе как симптом струны, четок, волнистой ленты, нитки бус или жемчужного ожерелья (*string and pearl*). Сужение артерии обычно начинается на 2–3 см дистальнее луковицы ВСА и заканчивается перед входом в каменистую часть височной кости [16, 36–38].

В случае, когда диссекция приводит к окклюзии ВСА, ангиографические признаки менее специфичны, так как сходная ангиографическая картина наблюдается при окклюзии, обусловленной тром-



боэмболией или атеросклерозом. Отличительным признаком окклюзии ВСА, обусловленной диссекцией, наблюдающимся у части больных, является предокклюзионное конусовидное сужение артерии – симптомы пламени свечи, крысиного хвоста [34, 36, 37].

Другими патогномоничными ангиографическими признаками диссекции являются формирование расслаивающей аневризмы (см. рис. 1), двойного просвета артерии (истинного и ложного) и обнаружение “флотирующей” интимы. Расслаивающая аневризма выявляется как локальное расширение просвета артерии и часто располагается в прокраинальной части ВСА вблизи костей основания черепа [34, 36, 37]. “Флотирующая” интима – это непроизвольное движение отслоившейся внутренней оболочки (интимы) в просвете артерии под действием пульсовой волны. Двойной просвет артерии и “флотирующая” интима встречаются достаточно редко, менее чем в 10% случаев [6, 37–39].

При диссекциях ПА (ДПА) выявляется такой же набор ангиографических признаков, как и при диссекции ВСА, но они менее специфичны. К ним относят (в порядке уменьшения частоты встречаемости): пролонгированный неравномерный или равномерный стеноз просвета артерии, расслаивающую аневризму (см. рис. 1), окклюзию, двойной просвет, “флотирование” интимы [4]. ПА входит в полость черепа через большое затылочное отверстие, что объясняет распространение более чем 20% ДПА интракраниально [18, 34, 36].

По данным M.H. Rodallec [6] на сериях изображений 42 пациентов ангиографические признаки СДЦА включали: неравномерный стеноз артерии в 46%, неравномерный стеноз с псевдоаневризмой в 27%, окклюзии в 20% и только псевдоаневризму в 7% случаев.

#### КТ

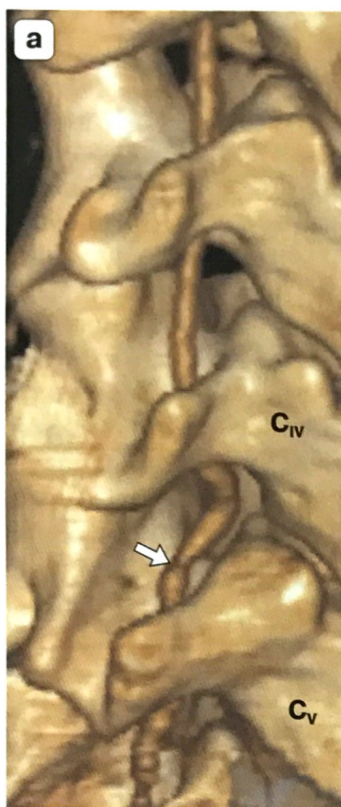
Бесконтрастная КТ позволяет обнаружить ИМГ в острую стадию спонтанной диссекции. В аксиальной проекции она представлена зоной, имеющей полулуенную (при стенозе) или округлую (при окклюзии) форму с четкими контурами повышенной плотности (рис. 2). Высокая плотность ИМГ – 50–80 ед.Н обусловлена повышением концентрации гемоглобина в ИМГ вследствие возрастания гематокрита и образованием в ней сгустков крови [40, 41]. Кроме того, бесконтрастная КТ позволяет выявить ишемические изменения вещества головного мозга [42]. В редких случаях (при диссекции интракраниальных артерий) при разрыве всех слоев артерии обнаруживаются признаки субарахноидального кровоизлияния [43].



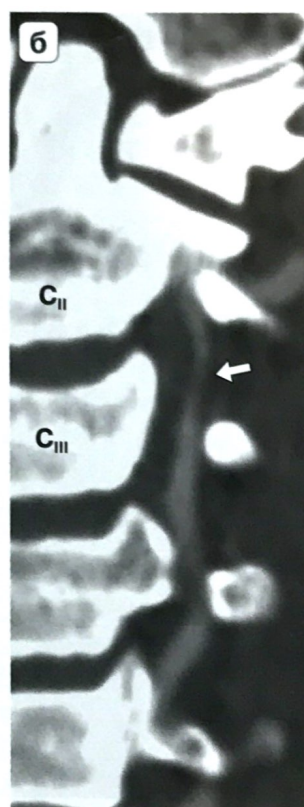
**Рис. 1.** ДС-ангиограмма. Неравномерное сужение экстракраниального отдела правой ВСА (стрелка) с образованием расслаивающей аневризмы (тонкая черная стрелка). Интракраниальный отдел ВСА проходим (тонкая белая стрелка).



**Рис. 2.** Компьютерная томограмма головного мозга (W80, L40). В проекции шейной части левой ВСА выявляется зона (стрелка) округлой формы с четкими контурами повышенной плотности (78 ед.Н), которая соответствует ИМГ; наружный диаметр артерии увеличен по сравнению с контралатеральной ВСА (тонкая черная стрелка).



**Рис. 3.** КТ-ангиограммы. Стеноз левой ПА. а – 3D-реконструкция. Неравномерный стеноз (стрелка) левой ПА на участке  $V_2$  на уровне позвонков  $C_{IV}$ – $C_V$ ; б – MIP-реконструкция. Неравномерный стеноз (стрелка) левой ПА на участке  $V_2$  на уровне позвонков  $C_{II}$ – $C_{III}$ .



**Рис. 4.** КТ-ангиограмма пациента со спонтанной диссекцией левой ВСА. Конусообразное предокклюзионное сужение артерии – симптом пламени свечи (тонкая черная стрелка), общая сонная артерия (стрелка) проходит мимо.

**Рис. 5.** MIP-реконструкция КТ-ангиограммы. Диссекция участка  $V_2$  правой ПА. Неравномерный стеноз (стрелка) с формированием расслаивающей аневризмы (тонкая черная стрелка) на уровне позвонка  $C_{VI}$ .

### КТ-ангиография (КТА)

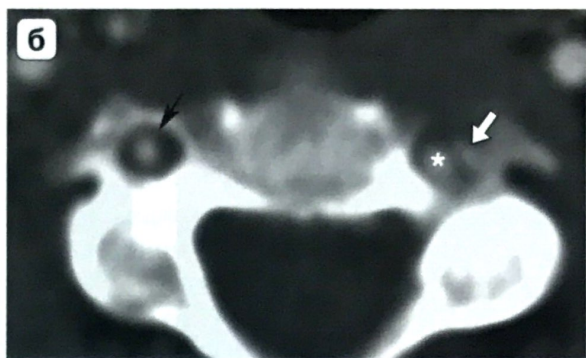
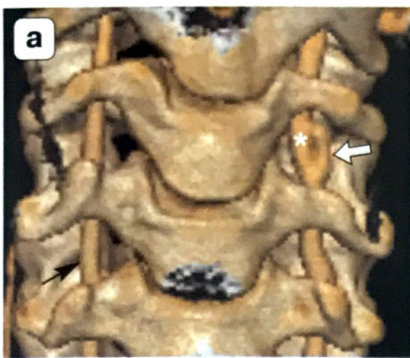
КТА позволяет получить изображение просвета сосуда и его стенки с высоким пространственным разрешением. Для создания изображений, сходных с ДСАГ, используются методы мультипланарных и трехмерных реконструкций. В отличие от ДСАГ КТА сосудов головы и шеи является малоинвазивным методом, требует введения меньшей дозы рентгенконтрастного вещества и может выполняться в амбулаторных условиях.

Как и ДСАГ, КТА позволяет выявить типичные признаки изменения просвета артерии при ее расслоении: пролонгированный неравномерный (рис. 3) или равномерный стеноз, конусообразное предокклюзионное сужение (рис. 4), расслаивающую аневризму (рис. 5), двойной просвет артерии (рис. 6), “флотирование” интимы. При анализе данных КТА, помимо 3D-реконструкций, необходимо оценивать и аксиальные изображения. Для оптимальной визуализации ИМГ рекомендуется использовать окно с шириной 400–500 ед.Н и центром 150 ед.Н [34].

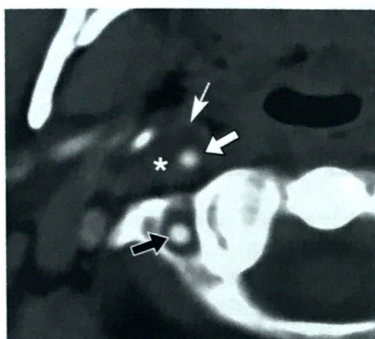
Метод позволяет выявить признаки утолщения стенки артерии за счет наличия в ней ИМГ. К ним относят: увеличение наружного диаметра артерии, уменьшение диаметра ее внутреннего прос-

вета, как правило, расположенного эксцентрично, симптом мишени.

Увеличение наружного диаметра артерии устанавливается путем сравнения с диаметром этой артерии на вышележащем уровне или с соответствующим сегментом контралатеральной артерии. Наиболее чувствительным и специфичным признаком диссекции ВСА является утолщение стенки в прокраинальном отделе [34]. Симптом мишени – очень специфичный, но менее чувствительный признак диссекции. Он представляет собой поперечный срез артерии на аксиальных изображениях. Выявляется как область утолщения стенки артерии с эксцентрично (реже центрально) расположенным суженным просветом, окруженная тонкой кольцевидной зоной повышенной плотности (рис. 7). Повышение плотности по периферии артерии связывают с накоплением контрастного вещества *v. vasorum* адвентиции [6, 44]. Впервые этот признак был описан



**Рис. 6.** КТ-ангиограммы пациента со спонтанной диссекцией левой ПА. а – 3D-реконструкция; б – аксиальная проекция. Двойной просвет (истинный (звездочка) и ложный (стрелка)) левой ПА на уровне позвонков C<sub>III</sub>–C<sub>IV</sub>. Правая ПА (тонкая черная стрелка) не изменена.



**Рис. 7.** КТ-ангиограмма, аксиальная проекция. Утолщение стенки правой ВСА за счет наличия в ней гематомы (звездочка), просвет артерии (стрелка) сужен, расположен эксцентрично, наружная граница артерии представлена тонкой кольцевидной зоной повышенной плотности (тонкая стрелка). Правая ПА (черная стрелка) не изменена.

при проведении КТ с контрастным усилением G. Dal Pozzo и соавт. [45].

Другими диагностическими критериями являются: 1) расширенный просвет артерии (расслаивающая аневризма), 2) чередование участков сужения и расширения просвета артерии в сочетании с или без утолщения стенки полуулунной формы, 3) "флотирующая" интима.

По данным C.J. Chen и соавт. [46], МСКТ является чувствительным (100%) и специфичным (98%) методом в диагностике ДПА. Наиболее частым признаком являлось увеличение наружного диаметра артерии – у 100% пациентов.

#### **МРТ и магнитно-резонансная ангиография (МРА)**

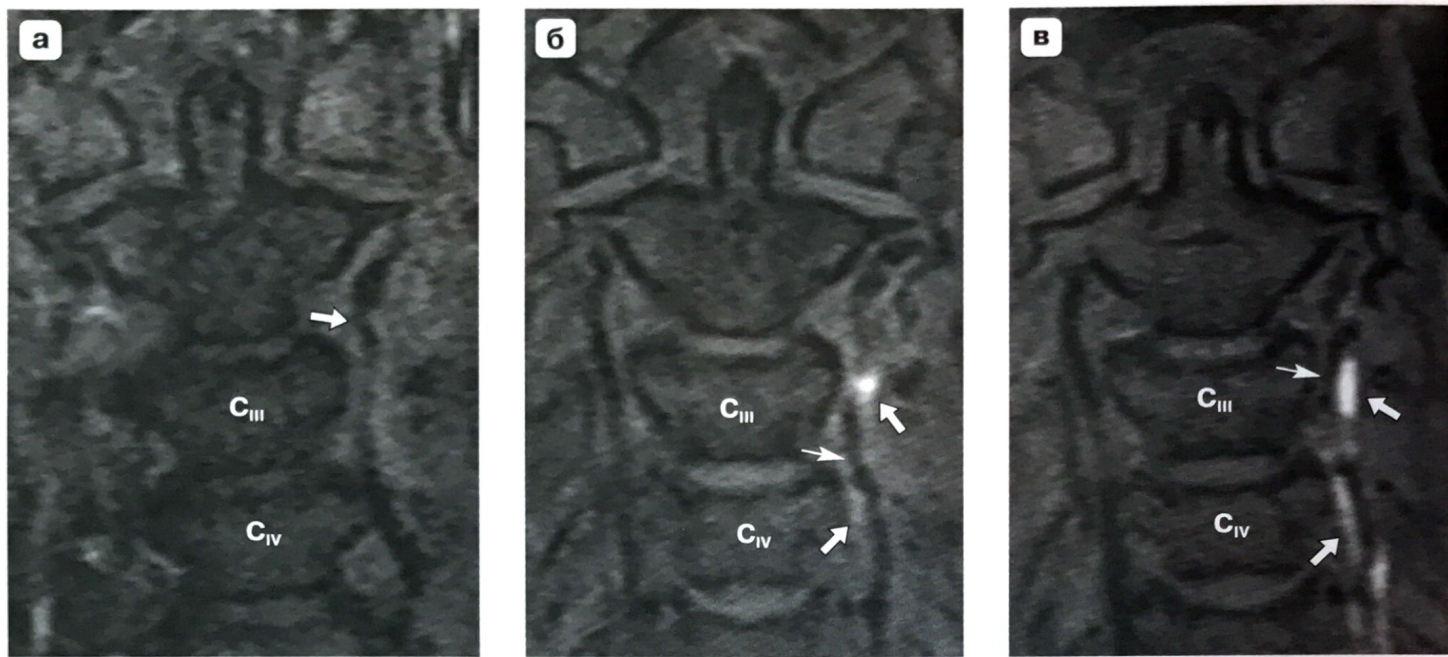
Другими методами, позволяющими наряду с получением изображения артериального кровотока непосредственно визуализировать ИМГ, являются МРТ и МРА. Это неинвазивные или малоинвазивные методы, не имеющие лучевой нагрузки для пациентов. Для диагностики СДЦА применяют SE (T1ВИ) и TSE (T2ВИ), PD (proton density – режим протонной плотности) области шеи, а также ангио-



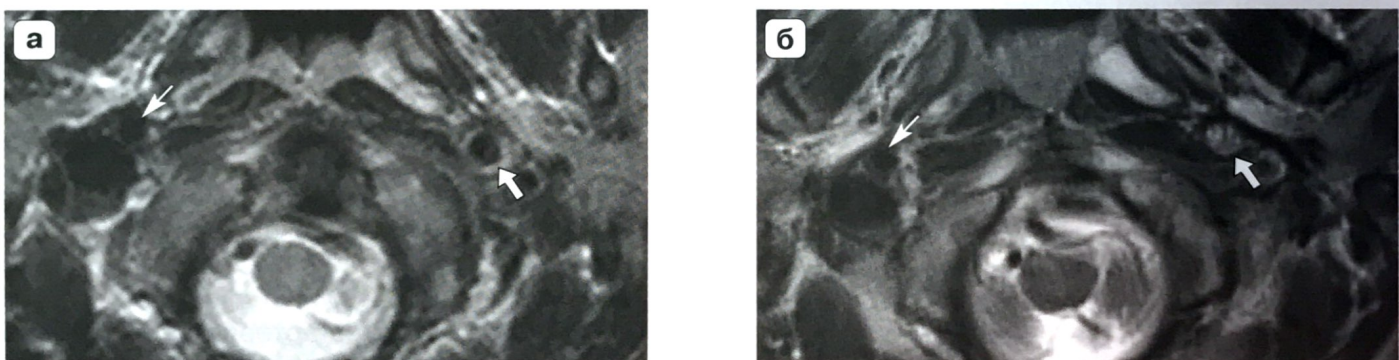
**Рис. 8.** МР-томограмма в режиме T1 f/s, аксиальная проекция. Наружный диаметр левой ВСА расширен до 1,0 см, внутренний просвет артерии сужен, расположен эксцентрично (стрелка), окружен зоной полуулунной формы (ИМГ) с четкими контурами гиперинтенсивного МР-сигнала (звездочка). Правая ВСА не изменена, ее диаметр составляет 0,5 см (тонкая стрелка).

графические методики. Так же как и при КТ, достоверными признаками диссекции являются эксцентричное сужение внутреннего просвета артерии, окруженное зоной полуулунной формы, и увеличение наружного диаметра артерии на этом уровне (рис. 8) [34].

В отличие от КТ в остром периоде диссекции ИМГ имеет изоинтенсивный сигнал (рис. 9, а), который в дальнейшем меняется по мере эволюции ИМГ и изменения парамагнитных свойств продуктов распада гемоглобина [6, 34, 40]. Динамика изменения интенсивности МР-сигнала от ИМГ сходна с таковой при внутримозговом кровоизлиянии. Так, в первые 24–48 ч развития диссекции ИМГ гипоинтенсивна на Т2ВИ (рис. 10, а) и изоинтенсивна на Т1ВИ (см. рис. 9, а), в связи с чем ее сложно дифференцировать с окружающими тканями. Затем сигнал от ИМГ приобретает слабо повышенную интенсивность на Т1ВИ (рис. 9, б) и высокую интенсивность на Т2ВИ (рис. 10, б) и РД. Через несколько дней сигнал от ИМГ становится высокоинтенсивным на Т1ВИ и сохраняется таким примерно в течение 2 мес (рис. 9, в). Постепенное последующее снижение интенсивности сигнала от



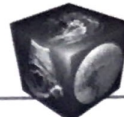
**Рис. 9.** МР-томограммы в режиме T1 f/s, коронарная проекция. а – патологических изменений интенсивности МР-сигнала от стенки левой ПА не выявляется, просвет неравномерно сужен (стрелка) – несколько часов от момента возникновения клинической симптоматики диссекции; б – слабо повышена интенсивность сигнала от стенки левой ПА на уровне позвонков C<sub>III</sub>–C<sub>IV</sub> (стрелки), просвет неравномерно сужен (тонкая стрелка) – 48 ч от момента возникновения клинической симптоматики; в – неоднородный гиперинтенсивный сигнал от стенки левой ПА на уровне позвонков C<sub>III</sub>–C<sub>V</sub> (стрелки), просвет неравномерно сужен (тонкая стрелка) – 7 сут от момента возникновения клинической симптоматики.



**Рис. 10.** МР-томограммы в режиме T2, аксиальная проекция. а – диссекция левой ВСА (стрелка), 48 ч от момента возникновения клинической симптоматики. Гипоинтенсивный сигнал от ИМГ, просвет артерии не визуализируется, наружный диаметр артерии расширен. Правая ВСА не изменена; б – диссекция левой ВСА, 14 дней от момента возникновения симптоматики. Гиперинтенсивный сигнал от ИМГ, просвет артерии не визуализируется. Правая ВСА не изменена.

ИМГ приводит к тому, что она не визуализируется через 6 мес от момента возникновения [33, 37]. Отмеченная динамика сигнальных характеристик ИМГ может наблюдаться не только при диссекции, но и при другой патологии. Так, по данным B. Schwaighofer и соавт. [47], свежий внутриартериальный тромб, образованный вследствие атеросклеротической или эмболической окклюзии артерии, имеет сходную эволюцию сигнальных характеристик. Вместе с тем теоретически следует допустить, что сигнал от внутриартериального тромба, который, как правило, относится к разря-

ду белых, не будет давать такого интенсивного сигнала, как ИМГ, поскольку содержание гемоглобина, а следовательно, и продуктов его распада, в нем меньше, чем в ИМГ. Отличительной чертой ИМГ и внутриартериального тромбоза служит увеличение наружного диаметра артерии при диссекции, а также наличие эксцентрично или центрально расположенной зоны выпадения МР-сигнала проксимальнее окклюзии [34, 37, 44]. Атеросклеротическая бляшка может имитировать локальную диссекцию артерии, выявляясь в виде высокointенсивного ободка в режиме Т2ВИ. Однако этот



**Рис. 11.** 3D- ВП МР-ангиограмма, аксиальная проекция. В левой ВСА выявляется зона с четкими ровными контурами полуулунной формы (ИМГ), повышенной интенсивности МР-сигнала (звездочка), просвет артерии сужен (тонкая стрелка), расположен эксцентрично, наружный диаметр увеличен. Правая ВСА не изменена (стрелка).



**Рис. 12.** 3D- ВП МР-ангиограмма, MPR-реконструкция. Диссекция шейной части правой ВСА и левой ПА разной давности. Гиперинтенсивный сигнал от ИМГ в стенке правой ВСА симулирует неизмененный кровоток (стрелка). Диаметр шейной части правой ВСА увеличен. Протяженный неравномерный стеноз левой ПА (тонкая стрелка), изоинтенсивный сигнал от ИМГ. Левая ВСА (1) и правая ПА (2) не изменены.

ободок обычно имеет изоинтенсивный сигнал в режиме T1ВИ в отличие от высокоинтенсивной подострой ИМГ [37, 48–51].

Ошибка за ИМГ может быть принят гиперинтенсивный сигнал от жировой ткани вокруг артерии. Поэтому большое значение имеет использование режимов с подавлением сигнала от жировой ткани (*fat suppression (f/s)* – подавление сигнала от жировой ткани) [6, 34, 37]. Имитировать подострую ИМГ в ПА и давать ложноположительный результат может и повышение интенсивности сигнала от венозного сплетения в отверстиях поперечных отростков позвонков при наличии в нем медленного кровотока [6, 37]. Дифференцировать ДПА от кровотока в перивертебральном венозном сплетении помогает добавление слоя предварительного на-

сыщения зон (cranial presaturation pulse) [6, 34]. Ложноотрицательные результаты возникают при проведении МРТ в первые дни диссекции, когда ИМГ не имеет гиперинтенсивного сигнала и “сливается” с окружающими тканями (см. рис. 9, а) [6, 34, 37].

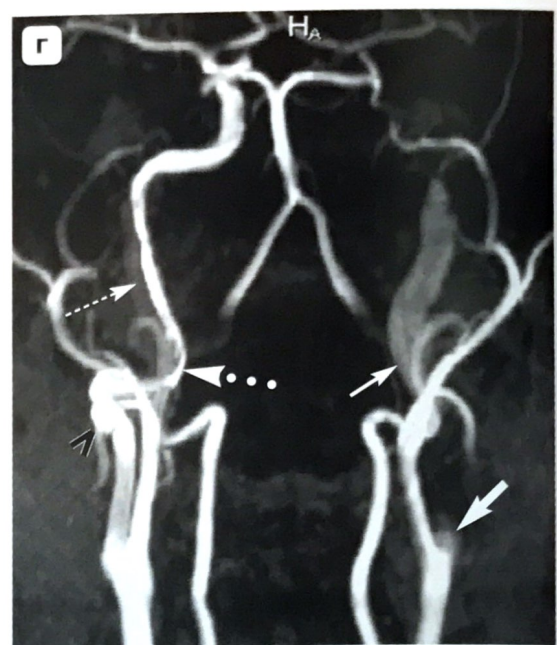
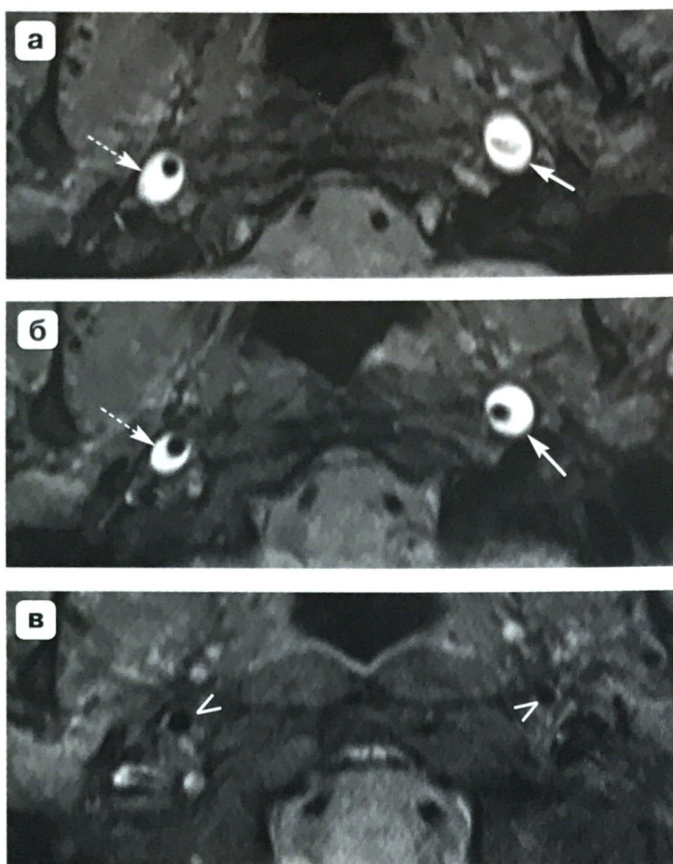
Наиболее чувствительными признаками диссекции на ранней стадии являются утолщение стенки артерии за счет наличия в ней крови с расширением ее наружного диаметра и сужение внутреннего просвета артерии [34, 52]. С. Levy и соавт. [53] описали увеличение наружного диаметра в 18 (95%) из 19 артерий при проведении TOF MRA (Time Of Flight Magnetic Resonance Angiography (TOF MRA) – времяпролетная (ВП) МРА). По их данным, этот признак является наиболее чувствительным признаком диссекции.

МРА включает в себя ВП МРА, PC-MRA (Phase Contrast Magnetic Resonance Angiography (PC MRA) – фазово-контрастная (ФК) МРА) и CE-MRA (Contrast Enhanced Magnetic Resonance Angiography (CE-MRA) – контрастная (к) МРА).

Возможность выявления ИМГ в режиме ВП МРА обусловлена тем, что при этой методике не подавляется сигнал от окружающих тканей с коротким временем T1 (метгемоглобин в ИМГ) (рис. 11) [6]. Наряду с оценкой “сырых” данных, полученных при ВП МРА, при подозрении на диссекцию крайне важна оценка реконструированных данных (MIP – maximum intensity projection – проекция максимальной интенсивности) [6, 37]. Обычно сигнал от кровотока имеет большую интенсивность, чем сигнал от ИМГ [37, 54]. Исходные (“сырые”) данные позволяют визуализировать всю окружность (диаметр) артерии, а MIP-реконструкция – протяженность и точную локализацию диссекции.

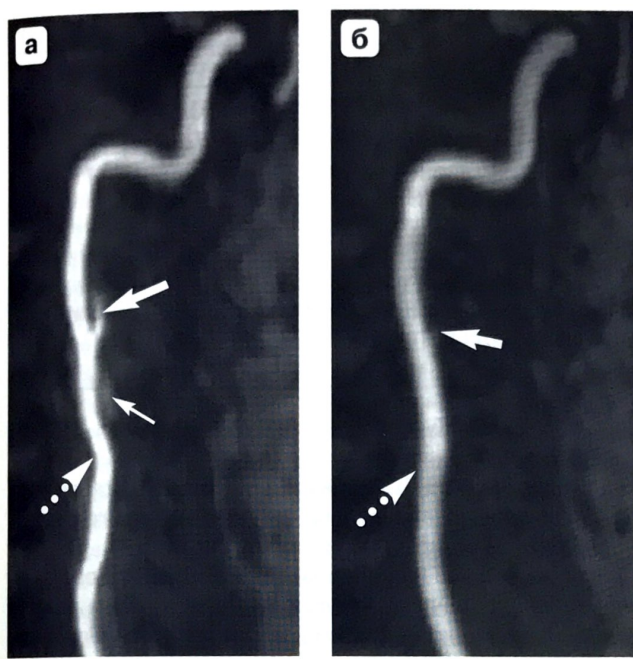
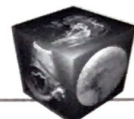
Существует несколько самых распространенных ошибок при интерпретации ВП МРА-изображений при диссекции ВСА. В некоторых случаях ИМГ не выявляется, так как гиперинтенсивный сигнал, который дают продукты ее распада (метгемоглобин), симулирует кровоток на MIP-изображениях (рис. 12). Этот феномен важен при оценке ВСА в каменистой части, в которой расширение наружного диаметра артерии невозможно (артерия проходит в костном канале) и потому ограниченная стенотическая диссекция может быть пропущена [34, 37, 55]. Кроме того, артефакт чувствительности от костей основания черепа на MIP-изображениях иногда выявляется как неравномерное сужение проксимальной части каменистого сегмента ВСА и может ошибочно приниматься за диссекцию, особенно если эти сужения асимметричны [34, 37].

Более предпочтительно использование трехмерной (three-dimensional – 3D) или MOTSA (multiple overlying slices acquisition – получение множе-



**Рис. 13.** Динамика изменений МРТ- и МРА-данных при спонтанной диссекции обеих ВСА. а, г – через 2 нед от момента возникновения клинической симптоматики окклюзия левой ВСА, стеноз правой ВСА; б, д – через 3 нед реканализация левой ВСА, уменьшение степени стеноза правой ВСА; в, е – через 3 мес восстановление кровотока по обеим ВСА. МР-томограммы в режиме T1 f/s, аксиальная проекция (а–в). 3D-ВП МР-ангиограммы, МPR-реконструкция (г–е).

Конусообразное предокклюзионное сужение левой ВСА – симптом пламени свечи (г – толстая стрелка). Гиперинтенсивный сигнал от ИМГ в стенке левой ВСА (а, б, г, д – тонкие стрелки). Расслаивающая аневризма правой ВСА (г–е – черные галочки). Неравномерное сужение просвета правой ВСА (г, д – толстые пунктирные стрелки), гиперинтенсивный сигнал от ИМГ в стенке правой ВСА (а, б, г, д – тонкие пунктирные стрелки). Патологических изменений сигнала от стенки правой и левой ВСА не выявляется, кровоток по ним восстановлен (в, е – белые галочки).



**Рис. 14.** 3D-ВП МР-ангиограммы, МПР-реконструкция. Спонтанная диссекция левой ПА. Исследования выполнены через 1 мес (а) и 3 мес (б) от начала клинической симптоматики. а – расслаивающая аневризма левой ПА (толстая стрелка), слабо гиперинтенсивный сигнал от ИМГ в стенке ПА (тонкая стрелка), просвет артерии неравномерно сужен (пунктирная стрелка); б – уменьшение размеров расслаивающей аневризмы (толстая стрелка), просвет артерии восстановлен (пунктирная стрелка).

ства перекрывающихся тонких слоев) методик ВП МРА. Для визуализации кровотока с очень низкой скоростью может быть использована и двухмерная (bi-dimensional – 2D) методика ВП МРА.

Надо отметить, что другой метод бесконтрастной МРА – ФК МРА, как и метод кМРА, демонстрирует исключительно просвет артерии и не предполагает непосредственного выявления сигнала от ИМГ. ФК МРА используется реже в диагностике диссекции, чем кМРА [37]. По мере усовершенствования МР-градиентов и программного обеспечения, которые обусловливают более быстрый сбор данных, кМРА становится методом выбора в диагностике диссекции, однако высокая стоимость исследования ограничивает его широкое применение. Как и ДСАГ, кМРА демонстрирует неравномерность кровотока, изменение внутреннего диаметра артерии, окклюзию, расслаивающие аневризмы [37, 56]. Недостатком кМРА по сравнению с ДСАГ является более низкое пространственное и временное разрешение, однако малоинвазивность, отсутствие лучевой нагрузки, возможность выполнения исследования в амбулаторных условиях – неоспоримые ее преимущества. Кроме того, преимуществом кМРА, как и ВП МРА, являет-

ся то, что исследование можно легко расширить, добавив изображения в аксиальной плоскости в режимах T2 f/s и T1 f/s через стеноэзированный сегмент артерии для подтверждения или опровергения диссекции. Комбинация МРТ и МРА позволяет не только эффективно диагностировать СДЦА, но и может быть использована как неинвазивный метод динамического контроля регресса ИМГ или развития осложнений [6, 37, 56].

### Динамика

Данные ангиографических исследований могут значительно меняться со временем, поскольку СДЦА представляет собой динамический процесс. Около 90% стенозов со временем разрешаются самопроизвольно с минимальными остаточными изменениями сосудистой стенки (рис. 13), около 2/3 окклюзий подвергаются реканализации (см. рис. 13) и 1/3 расслаивающих аневризм уменьшается в размерах, хотя и несущественно (рис. 14) [4, 39, 56–58].

### Рекомендации по диагностике диссекции экстракраниальных отделов церебральных артерий

Для первичной диагностики следует выбирать метод, позволяющий визуализировать как стенку артерии (для подтверждения наличия ИМГ), так и ее просвет (для визуализации стеноза или окклюзии сосуда). Кроме того, проведение нейровизуализации необходимо для обнаружения структурных изменений в веществе головного мозга, обусловленных диссекцией. Эти задачи решаются одновременным применением МРТ и МРА или КТ и КТА. Рядом авторов предлагается следующий протокол исследования: Т1- и Т2ВИ области шеи с подавлением сигнала от жировой ткани в сочетании с кМРА (3D-ВП МРА при наличии противопоказаний к введению гадолинийсодержащего контрастного препарата) – для выявления артериальной патологии и МРТ головного мозга – для выявления изменений вещества головного мозга [6, 37]. КТ и КТА имеют преимущества по сравнению с МРТ и МРА в диагностике диссекции лишь в первые 48 ч, когда ИМГ при бесконтрастной КТ имеет повышенную плотность, а при МРТ гиперинтенсивный сигнал в режимах Т1- и Т2ВИ еще не выявляется. Однако неоспоримыми преимуществами МРТ и МРА являются отсутствие лучевой нагрузки и высокая чувствительность и специфичность режима дифузионно-взвешенных изображений (ДВИ) в диагностике острых инфарктов мозга. ДСАГ применяют в сложных диагностических случаях, когда использование мало- и неинвазивных методов недостаточно для постановки диагноза, или же при



## Протокол МРТ- и МРА- исследования пациентов с подозрением на СДЦА

Название режима сканирования	Назначение режима
T2ВИ, T1ВИ, FLAIR, ДВИ головного мозга	Выявление изменений вещества мозга (ишемия) или их отсутствие
3D-ВП МРА экстракраниальных артерий	Выявление изменения кровотока и степени распространенности процесса
T1ВИ с подавлением сигнала от жировой ткани (f/s) в коронарной плоскости	Четкая визуализация гематомы в стенке сосуда на всем протяжении
T1ВИ, T2ВИ и PD с подавлением сигнала от жировой ткани (f/s) в аксиальной плоскости на уровне гематомы	Визуализация степени стеноза и дифференцировка гематомы и просвета сосуда

необходимости проведения эндоваскулярного вмешательства [37]. После постановки диагноза для динамической оценки изменений в артериях (реканализации, стабилизации, нарастания степени стеноза) можно использовать цветовое дуплексное сканирование, которое является более доступным, менее дорогостоящим методом исследования и может проводиться более часто, чем кМРА и КТА. При локализации диссекции вне или распространении ее за пределы поля, доступного сканированию ультразвуковым датчиком, для динамической оценки используются МРТ и МРА [6, 37, 59].

В Научном центре неврологии РАМН в настоящее время для выявления диссекции экстракраниальных отделов ВСА и ПА используется протокол с применением МРТ и 3D-ВП МРА (см. таблицу).

## Список литературы

- Инсульт. Диагностика, лечение и профилактика: Руководство для врачей; Под ред. З.А. Суслиной, М.А. Пирадова. М.: МЕДпресс-информ, 2008.
- Калашникова Л.А., Сахарова А.В., Добрынина Л.А. и др. Митохондриальная артериопатия – причина спонтанной диссекции церебральных артерий. Журн. неврол. и психиатр. Приложение. Инсульт. 2010; 4: 3–11.
- Bogousslavsky J., Regli F. Ischemic stroke in adults younger than 30 years of age: cause and prognosis. Arch. Neurol. 1987; 44: 479–483.
- Schievink W.I. Spontaneous dissection of the carotid and vertebral arteries. N. Engl. J. Med. 2001; 344: 898–906.
- Schievink W.I., Mokri B., O'Fallon W.M. Recurrent spontaneous cervical artery dissection. N. Engl. J. Med. 1994; 330: 393–397.
- Rodallec M.H, Marteau V., Gerber S. et al. Craniocervical arterial dissection: spectrum of imaging findings and differential diagnosis. RadioGraphics 2008; 28 (6): 1711–1728.
- Norris J.W., Brandt T. Management of cervical arterial dissection. Int. J. Stroke 2006; 1 (2): 59–64.
- Покровский А.В., Шубин А.А., Кунцевич Г.И. и др. Расслоение сонных артерий (обзор литературы и клиническое наблюдение). Ангиол. и сосуд. хир. 2005; 11 (4): 130–140.
- Мацко Д.Е., Никонов А.А. Стенозирующие расслоения (расплаивающие аневризмы) магистральных артерий головного мозга; их этиология, патогенез, диагностика (обзор). Журнал невропатол. и психиатр. 1984; 7: 1074–1079.
- Шишкина Л.В., Смирнов А.В., Мякота А.Е. Острая распластывающая аневризма сосудов головного мозга. Вопр. нейрохир. 1986; 3: 54–57.
- Калашникова Л.А., Коновалов Р.Н., Кротенкова М.В. Спонтанное интрамуральное кровоизлияние (диссекция) в интракраниальных артериях и ишемические нарушения мозгового кровообращения. Журн. неврол. и психиатр. Приложение. Инсульт. 2006; 17: 4–14.
- Добрынина Л.А., Калашникова Л.А., Павлова Л.Н. Ишемический инсульт в молодом возрасте. Журн. неврол. и психиатр. 2011; 3: 4–8.
- Vilela P, Goulão A. Cervical and intracranial arterial dissection: review of the acute clinical presentation and imaging of 48 cases. Acta Med. Port. 2003; 16 (3): 155–164.
- Schievink W.I., Mokri B., Whisnant J.P. Internal carotid artery dissection in a community: Rochester, Minnesota, 1987–1992. Stroke 1993; 24: 1678–1680.
- Fisher C.M., Ojemann R.G., Roberson G.H. Spontaneous dissection of cervico-cerebral arteries. Can. J. Neurol. Sci. 1978; 5: 9–19.
- Hart R.G., Easton J.D. Dissections of cervical and cerebral arteries. Neurol. Clin. 1983; 1: 155–182.
- Sundt T.M., Pearson B.W., Piepgras D.G. et al. Surgical management of aneurysms of the distal extracranial internal carotid artery. J. Neurosurg. 1986; 64: 169–182.
- Menon R.K., Norris J.W. Cervical Arterial Dissection-Current Concepts. Ann. N. Y. Acad. Sci. 2008; 1142: 200–217.
- Калашникова Л.А. Диссекция (расслоение) церебральных артерий и ишемический инсульт. Атмосфера. Нервные болезни 2011; 2: 1–5.
- Luscher T.F., Lie J.T., Stanson A.W. et al. Arterial fibromuscular dysplasia. Mayo Clin. Proc. 1987; 62: 931–952.
- Haneline M.T., Rosner A.L. The etiology of cervical artery dissection. J. Chiropract. Med. 2007; 6: 110–120.
- Mazighi M., Saint Maurice J.P., Rogopoulos A. et al. Extracranial vertebral and carotid dissection occurring in the course of subarachnoid hemorrhage. Neurology 2005; 65 (9): 1471–1473.
- Tzourio C., Cohen A., Lamisse N. et al. Aortic root dilatation in patients with spontaneous cervical artery dissection. Circulation 1997; 95 (10): 2351–2353.
- Ozdoba C., Sturzenegger M., Schroth G. Internal carotid artery dissection: MR imaging features and clinical-radio-logic correlation. Radiology 1996; 199 (1): 191–198.
- D'Anglejan-Chatillon J., Ribeiro V., Mas J.L. et al. Migraine: a risk factor for dissection of cervical arteries. Headache 1989; 29 (9): 560–561.



26. Guillou B., Berthet K., Benslamia L. et al. Infection and the risk of spontaneous cervical artery dissection: a case-control study. *Stroke* 2003; 34: 79–81.
27. Grau A.J., Buggle F., Steichen-Wiehn C. et al. Clinical and biochemical analysis in infection-associated stroke. *Stroke* 1995; 26: 1520–1526.
28. Schievink W.I., Wijdicks E.F.M., Kuiper J.D. Seasonal pattern of spontaneous cervical artery dissection. *J. Neurosurg.* 1998; 89: 101–103.
29. Калашникова Л.А. Диссекция артерий, кровоснабжающих мозг, и нарушения мозгового кровообращения. Аnn. клин. и экспер. неврол. 2007; 1 (1): 41–49.
30. Friedman W.A., Day A.E., Quisling R.G. et al. Cervical carotid dissecting aneurisms. *Neurosurgery* 1980; 7: 207.
31. Saver L.J., Easton J.D., Hart R.G. Dissections and trauma of cerebrocervical arteries. *Stroke: pathophysiology, diagnosis, and management*. 2nd ed. By Barnett H.J.M. et al. Churchill Livingstone, 1992. 671–688.
32. Leys D., Lucas C., Gobert M. et al. Cervical artery dissection. *Eur. Neurol.* 1997; 37: 3–12.
33. Rommel O., Niedeggen A., Tegenthoff M. et al. Carotid and vertebral artery injury following severe head or cervical spine trauma. *Cerebrovasc. Dis.* 1999; 9: 202–209.
34. Baumgartner R.W., Bogousslavsky J., Caso V., Paciaroni M. *Handbook on Cerebral Artery Dissection*. Frontiers of Neurology and Neuroscience. Basel: Karger, 2005. 102–128.
35. Schulze H.E., Ebner A., Besinger U.A. Report of dissection of the internal carotid artery in three cases. *Neurosurg. Rev.* 1992; 15: 61–64.
36. Yang-Ki Kim, Sam Schulman. Cervical artery dissection: Pathology, epidemiology and management. *Thrombosis Res.* 2009; 123: 810–821.
37. Flis C.M., Janger H.R., Sidhu P.S. Carotid and vertebral artery dissections: clinical aspects, imaging features and endovascular treatment. *Eur. Radiol.* 2007; 17: 820–834.
38. Paciaroni M., Caso V., Agnelli G. Magnetic resonance imaging, magnetic resonance and catheter angiography for diagnosis of cervical artery dissection. *Front. Neurol. Neurosci.* 2005; 20: 102–115.
39. Houser O.W., Mokri B., Sundt T.M. et al. Spontaneous cervical cephalic arterial dissection and its residuum: angiographic spectrum. *Am. J. Neuroradiol.* 1984; 5: 27–34.
40. Брюхов В.В., Максимова М.Ю., Коновалов Р.Н. и др. Приоритеты визуализации внутримозговых гематом. Мед. виз. 2007; 6: 9–17.
41. New P.E.J., Aronow S. Attenuation measurements of whole blood and blood fractions in computed tomography. *Radiology* 1976; 121: 635–640.
42. Верещагин Н.В., Брагина Л.К., Вавилов С.Б., Левина Г.Я. Компьютерная томография мозга. М.: Медицина, 1986.
43. Ramgren B., Cronqvist M., Romner B. et al. Vertebrobasilar dissection with subarachnoid hemorrhage: a retrospective study of 29 patients. *Neuroradiology*. 2005; 47: 158–164.
44. Zuber M., Meary E., Meder J.F. Magnetic resonance imaging and dynamic CT scan in cervical artery dissections. *Stroke* 1994; 25 (3): 576–581.
45. Dal Pozzo G., Mascalchi M., Fonda C. et al. Lower cranial nerve palsy due to dissection of the internal carotid artery: CT and MR imaging. *J. Comput. Assist. Tomogr.* 1989; 13 (6): 989–995.
46. Chen C.J., Tseng Y.C., Lee T.H. et al. Multisection CT angiography compared with catheter angiography in diagnosing vertebral artery dissection. *Am. J. Neuroradiol.* 2004; 25 (5): 769–774.
47. Schwaighofer B., Klein M.V., Lyden P.D. MR imaging of vertebrobasilar vascular disease. *J. Comput. Assist. Tomogr.* 1990; 14: 895–904.
48. Provenzale J.M. Dissection of the internal carotid and vertebral arteries: imaging features. *Am. J. Roentgenol.* 1995; 165: 1099–1104.
49. Heinz E.R., Yeates A.E., Djang W.T. Significant extracranial carotid stenosis: detection on routine cerebral MR images. *Radiology* 1989; 170: 843–848.
50. Katz B.H., Quencer R.M., Kaplan J.O. et al. MR imaging of intracranial carotid occlusion. *Am. J. Roentgenol.* 1989; 152: 1271–1276.
51. Miaux Y., Cognard C., Martin-Duverneuil N. et al. Flow-related enhancement in the vertebral plexus mimicking an intramural hematoma. *Am. J. Neuroradiol.* 1996; 17 (1): 191–192.
52. Mokri B., Sundt T.M., Houser O.W. et al. Spontaneous dissection of the cervical internal carotid artery. *Ann. Neurol.* 1986; 19: 126–138.
53. Levy C., Laissy J.P., Raveau V. et al. Carotid and vertebral artery dissections: three-dimensional time-of-flight MR angiography and MR imaging versus conventional angiography. *Radiology* 1994; 190: 97–103.
54. Stringaris K., Liberopoulos K., Giaka E. et al. Three-dimensional time-of-flight MR angiography and MR imaging versus conventional angiography in carotid artery dissections. *Int. Angiol.* 1996; 15: 20–25.
55. Kirsch E., Kaim A., Engelter S. et al. MR angiography in internal carotid artery dissection: improvement of diagnosis by selective demonstration of the intraluminal haematoma. *Neuroradiology* 1998; 40: 704–709.
56. Leclerc X., Lucas C., Godefroy O. et al. Preliminary experience using contrast enhanced MR angiography to assess vertebral artery structure for the follow up of suspected dissection. *Am. J. Neuroradiol.* 1999; 20: 1482–1490.
57. Djouhri H., Guillou B., Brunereau L. et al. MR angiography for the long-term follow-up of dissecting aneurysms of the extracranial internal carotid artery. *Am. J. Roentgenol.* 2000; 174: 1137–1140.
58. Kasner S.E., Hankins L.L., Bratina P. Magnetic resonance angiography demonstrates vascular healing of carotid and vertebral artery dissections. *Stroke* 1997; 28: 1993–1197.
59. Grolimund P., Seller R.W., Aaslid R. et al. Evaluation of cerebrovascular disease by combined extracranial and transcranial Doppler sonography. Experience in 1,039 patients. *Stroke* 1987; 18: 1018–1024.